

УДК [666.3–184.4.539.1.074.3]+546.431'16

## ПОЛУЧЕНИЕ И СВОЙСТВА СЦИНТИЛЯЦИОННОЙ КЕРАМИКИ ИЗ ФТОРИДА БАРИЯ

© 1998 г. Н. Д. Зверев, А. М. Кудин

Институт монокристаллов Национальной академии наук Украины, Харьков

Поступила в редакцию 12.05.96 г.

Изложены основы модифицированной методики получения на воздухе керамики из фторида бария. Сняты и проанализированы спектры ее пропускания в УФ-, видимой и ИК-областях длин волн, а также спектры гамма-люминесценции в зависимости от квалификации исходного порошка и дозы гамма-облучения. Керамика из фторида бария, сформированная при температуре не выше 600°C, может быть использована в качестве как сцинтилляционного материала, так и материала для оптических элементов устройств ИК-техники.

Фторид бария  $BaF_2$  перспективен для использования в качестве материала датчиков детекторов высокоинтенсивных потоков ионизирующих излучений, поскольку является одним из самых быстродействующих неорганических сцинтилляторов (длительность высвечивания с максимумом на длине волны ~225 нм не превышает 0.9 нс [1]). Однако широкому использованию сцинтилляторов из монокристаллов  $BaF_2$  в значительной мере препятствуют технологические трудности их изготовления, особенно на стадии выращивания кристаллов. Альтернативным материалом для ряда применений представляется сцинтилляционная керамика из фторида бария, о создании которой сообщалось в [2]. В настоящей работе изложены основы методики получения такой керамики и результаты исследований ее оптических и радиолюминесцентных характеристик.

В качестве исходных сырьевых материалов использовали порошки квалификаций “для монокристаллов” и “для поликристаллических оптических материалов” российского производства, а также порошок квалификации “для оптических материалов” (“ос. ч.”) производства германской фирмы “Merck Inc.” (далее по тексту – порошки М, ПОМ и ОМ соответственно). Образцы керамики – диски диаметром 20–75 мм и толщиной 1–5 мм – изготавливали путем одноосного прессования порошка на воздухе при  $p = 285 \pm 10$  МПа и  $t = 575 \pm 25$  °C в течение  $45 \pm 15$  мин и последующей механической обработки (с применением водных пульп мелкодисперсных порошков электрокорунда и алмаза) до шероховатости плоских поверхностей  $R_a \approx 0.1$  мкм. (При температуре прессования свыше 600°C интенсифицируется рекристаллизация, средние размеры зерен керамики увеличиваются с 25 до 100 мкм и получить образцы диаметром более 20 мм не удается.)

На рис. 1 приведены данные спектрофотометрии образцов керамики толщиной 1 мм в ИК-области. Для измерений пропускания использован спектрофотометр модели Specord M82, отражения – Фурье-спектрометр модели ЛАФС-1000. Вне зависимости от квалификации исходного порошка керамика интенсивно поглощает с максимумами в районах 7.1 мкм и незначительно в области 3.4 и 3.5 мкм (рис. 1а). Спектр керамики из порошка М содержит, кроме того, интенсивные полосы с максимумами в районах 9 и 10.6 мкм, а также полосу с максимумом на длине волны 2.9 мкм (рис. 1а, спектр 2). В керамике из порошка ПОМ поглощение в районах 9 и 10.6 мкм относительно невелико, а в районе ~2.9 мкм намного выше, чем у образцов из порошка М, и имеется полоса с максимумом на длине волны ~6.3 мкм (рис. 1а, спектр 1). Основываясь на данных [3, 4], поглощение с максимумами на длинах волн ~2.9 и ~6.3 мкм следует

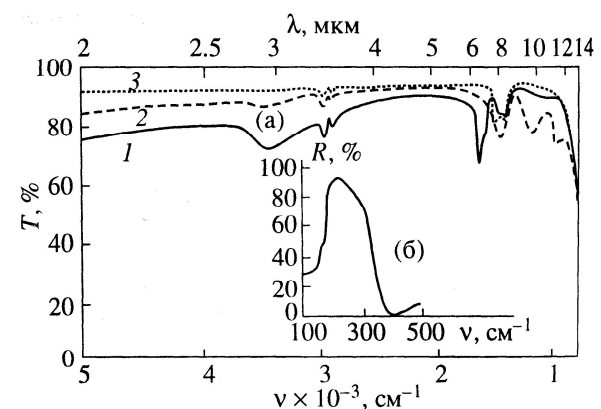


Рис. 1. Спектрофотометрические характеристики керамики в ИК-области длин волн (а – пропускание образцов толщиной 1 мм из порошков ПОМ (1), М (2) и ОМ (3); б – зеркальное отражение в дальней ИК-области).

## ПОЛУЧЕНИЕ И СВОЙСТВА СЦИНТИЛЛЯЦИОННОЙ КЕРАМИКИ

отнести к молекулам  $\text{H}_2\text{O}$ , а на длинах волн 3.4 и 3.5 мкм – к примесям органического происхождения. Поглощение в районе 7.1 мкм обусловлено, наиболее вероятно, примесными анионами  $\text{HCO}_3^-$ , а полосы с максимумами на ~9 и ~10.6 мкм относятся к оптически активным колебаниям в анионах примесных кислых фторидов бария. Спектр зеркального отражения керамики в дальней ИК-области при температуре 20°C (рис. 1б) идентичен известному для монокристалла  $\text{BaF}_2$  [5].

Учитывая, что образцы керамики из порошков указанных квалификаций сформированы на воздухе в идентичных условиях, можно заключить, что даже в наиболее чистом исходном порошке ОМ содержание примесных анионов  $\text{HCO}_3^-$  столь существенно, что прозрачность керамики в диапазоне длин волн 6.5–7.5 мкм намного ниже (рис. 1а, спектр 3), чем у монокристалла  $\text{BaF}_2$  [6]. Этот вывод подтверждается данными о поглощении исходных порошков в ИК-области спектра (рис. 2) и результатами термодинамических расчетов [7], показавших пренебрежимо малую степень окисления фторида бария кислородсодержащими компонентами воздуха при формировании высокоплотной керамики в воздушной атмосфере.

В УФ- и видимом диапазонах спектра керамика сильно ослабляет интенсивность падающего света (рис. 3). Это обусловлено не только поглощением примесями, но и рассеянием, что доказывается зависимостью регистрируемого пропускания  $T$  в направлении падающего пучка света от расстояния  $L$  до фотоприемника: чем больше  $L$ , тем меньше  $T$ .

Различия зависимостей пропускания от длины волны в УФ-диапазоне, наблюдаемые для образцов из порошков различных квалификаций (рис. 3), существенно сказываются на спектрах гамма-люминесценции (рис. 4). Измерения проводили с использованием блока детектирования на базе фотоэлектронного умножителя ФЭУ-100, квантовая эффективность которого в районах длин волн 195, 225 и 305 нм составляет < 1, ~7 и ~15% соответственно. По этой причине известный максимум радиoluminesценции (РЛ) на 195 нм [6] в наших экспериментах не проявляется. Для керамики из порошков М и ОМ по причине высокointенсивного светоослабления в районе 200–225 нм не проявляется и пик РЛ с максимумом на 225 нм. Для сравнения укажем, что в работе [6] при использовании ФЭУ модели Hamamatsu R2059, квантовая эффективность которого  $QE$  в районах длин волн 195, 225 (*fast*) и 305 нм (*slow*) составляет ~14, 18 и 23% соответственно, было получено соотношение интенсивностей гамма-люминесценции ( $I_{\text{ГЛ}}$ ) монокристалла  $\text{BaF}_2$  толщиной 19 мм  $I_{\text{fast}} : I_{\text{slow}} = 1 : 5$ , а при использовании ФЭУ модели

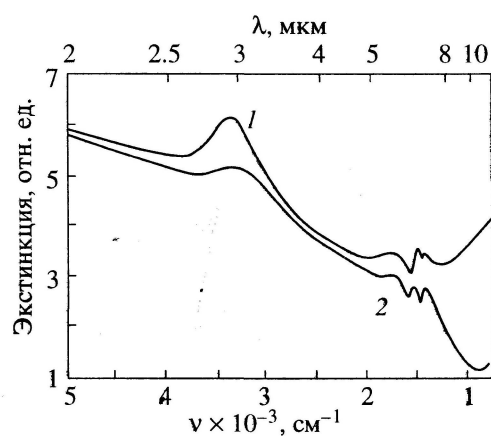


Рис. 2. ИК-спектры порошков ПОМ (1) и ОМ (2) (образцы приготовлены при температуре 20°C путем таблетирования смеси порошка и гранулированного KCl).

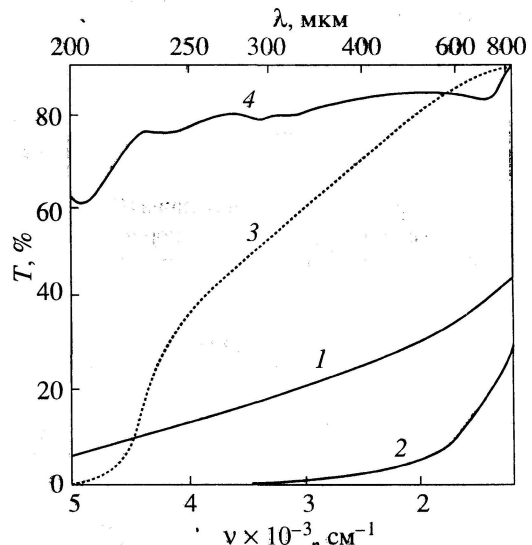


Рис. 3. Пропускание образцов керамики толщиной 1 мм (обозначения идентичны указанным на рис. 1а) и монокристалла  $\text{BaF}_2$  толщиной 3 мм (4) в видимом и УФ-диапазонах спектра (для измерений использован спектрофотометр модели Specord M40, расстояние от образца до фотоприемника 17 см).

Hamamatsu R3197 с  $QE$  в районах указанных длин волны соответственно ~10, 12 и 0% зафиксировано  $I_{\text{fast}} : I_{\text{slow}} = 1 : 1$ .

При увеличении толщины керамических образцов интенсивность гамма-люминесценции снижается, так что, например, для образца толщиной 3 мм из порошка ПОМ значение  $I_{\text{ГЛ}}$  в ~2.5 раза меньше, чем у образца толщиной 1 мм. Тем не менее на основании изложенного можно утверждать, что керамика из порошка ПОМ может явиться альтернативой монокристаллам  $\text{BaF}_2$  для сцинтилляторов детекторов высокointенсивных потоков короткопробежных заряженных частиц

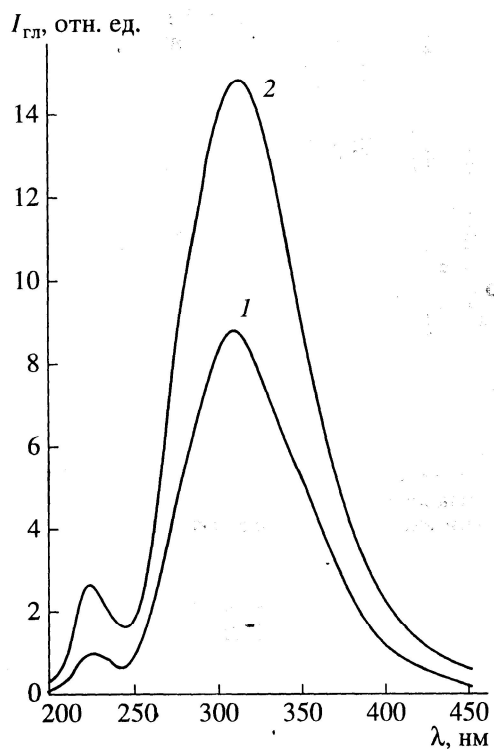


Рис. 4. Спектры гамма-люминесценции ( $E_\gamma = 60$  кэВ) образца керамики толщиной 1 мм из порошка ПОМ (1) и монокристалла  $\text{BaF}_2$  толщиной 3 мм (2).

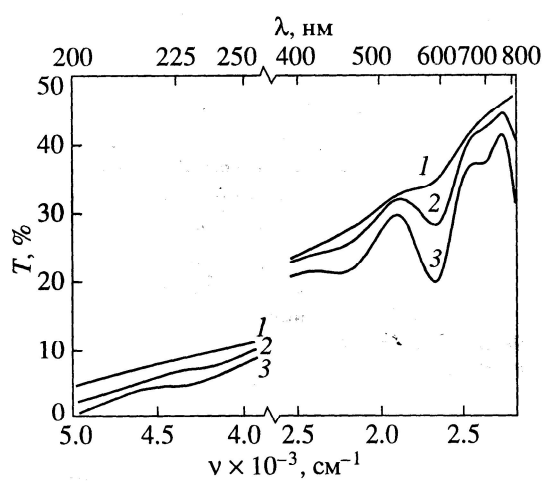


Рис. 5. Пропускание в видимом и УФ-диапазонах спектра образца керамики толщиной 1 мм из порошка ПОМ после гамма-облучений до доз 40 (1), 200 (2) и  $10^3$  Гр (3).

и низкоэнергетичных (до 100 кэВ) гамма-квантов и рентгеновских лучей. Эффективность регистрации высокоинтенсивных потоков ионизирующих излучений будет тем выше, чем выше квантовая эффективность ФЭУ в районе длин волн 195–225 нм и чем ниже в районе ~305 нм (т.е. в

данном случае необходим ФЭУ типа Hamamatsu R3197 [6]). Если же частота следования квантов (частиц) зарядом не превышает  $1.5 \times 10^6$  с<sup>-1</sup>, то предпочтительно использовать ФЭУ типа Hamamatsu R2059 [6].

После гамма-облучения керамики из порошка ПОМ при температуре 20°C от источника  $^{60}\text{Co}$  ( $E_\gamma = 1$  МэВ, мощность дозы ~0.17 Гр/с) до доз ~10, 50, 100 Гр последовательно возникают селективные поглощения с максимумами на длинах волн ~595, 465 и 715 нм соответственно. Интенсивность этих полос возрастает при увеличении дозы облучения (рис. 5), а керамика приобретает все более насыщенную окраску вплоть до зелено-вато-голубой после дозы  $10^3$  Гр. В керамике из порошка ОМ поглощение с максимумами на этих длинах волн возникает после доз 50, 100 и 600 Гр соответственно. Для монокристалла  $\text{BaF}_2$  толщиной ~12 мм производства фирмы Harshaw авторы работы [8] обнаружили небольшое (на 3%) уменьшение прозрачности в диапазоне от 200 до 500 нм лишь после дозы гамма-облучения  $2 \times 10^5$  Гр (источник –  $^{60}\text{Co}$ ). Для монокристалла толщиной ~25 мм производства фирмы Merck Inc. авторы [6] привели данные о том, что после дозы  $10^4$  Гр гамма-облучения от источника  $^{137}\text{Cs}$  ( $E_\gamma = 662$  кэВ, мощность дозы ~14 Гр/с) интегральная прозрачность в диапазоне от 200 до 480 нм снижается с ~95 до ~67% и появляется широкая малоинтенсивная полоса поглощения с максимумом на длине волны ~420 нм. Если принять, что аналогично монокристаллам  $\text{BaF}_2$  [6] радиационные повреждения в керамике обусловлены прежде всего наличием примесей, то обнаруженные различия радиационно-оптической стойкости керамик из порошков различных квалификаций следует считать обусловленными различными содержаниями примесей. Вместе с тем гамма-облучение до доз  $10^3$  Гр не оказывается на спектрах пропускания керамик в ИК-области длин волн. В этой связи можно заключить, что за снижение радиационно-оптической стойкости исследуемого материала ответственны в первую очередь ИК-пассивные примесные центры (например, ионы  $\text{O}^{2-}$  и др.).

## ЗАКЛЮЧЕНИЕ

Керамика из фторида бария, сформированная на воздухе при температуре не выше 600°C, может быть использована не только в качестве материала сцинтилляторов для детектирования высокointensивных потоков короткопробежных заряженных частиц и низкоэнергетичных (до 100 кэВ) рентгеновских лучей и гамма-квантов, но и в качестве материала для оптических элементов устройств ИК-техники. Основным условием улучшения функциональных характеристик керамики является использование более чистого по сравнению с известными исходного порошка  $\text{BaF}_2$ .

Авторы благодарят Ю.Б. Малко, А.А. Чернышова и О.Т. Николова за помощь в приготовлении образцов.

#### СПИСОК ЛИТЕРАТУРЫ

1. Викторов Л.В., Скориков В.М., Жуков В.М., Шульгин Б.В. Неорганические сцинтилляционные материалы // Неорган. материалы. 1991. Т. 27. № 10. С. 2005–2029.
2. Черников В.В., Загарий Л.Б., Зверев Н.Д. Светопрозрачная керамика на основе фторида щелочноzemельного металла – перспективный рентгеновский фосфор // Тез. докл. I междунар. совещ. "Люминифор-92". Ставрополь: НПО "Люминофор", 1992. С. 125.
3. Niquist R., Kagel R. Infrared Spectra of Inorganic Compounds (3800–45  $\text{cm}^{-1}$ ). N. Y.-L.: Academ. Press, 1971. 495 p.
4. Литтл Д. Инфракрасные спектры адсорбированных молекул. М.: Мир, 1969. 515 с.
5. Воронкова Е.М., Гречушников Б.Н., Дистлер Г.И., Петров И.П. Оптический материалы для инфракрасной техники. М.: Наука, 1965. 336 с.
6. Wei Z.Y., Zhu R.Y., Newman H., Yin Z.W. Light Yield and Surface Treatment of Barium Fluoride Crystals // Nucl. Instrum. Methods Phys. Res., Sect. B. 1991. V. 61. № 1. P. 61–66.
7. Крапошина Ж.К., Литвиненко Ю.Г. Термодинамика процессов взаимодействия кристаллического  $\text{BaF}_2$  с газообразными окислами // Тез. докл. VII Всесоюз. совещ. "Кристаллические оптические материалы". Л.: ГОИ, 1989. С. 216–217.
8. Majewski S., Bentley M. Gamma Radiation Induced Damage Effects in the Transmission of Barium Fluoride and Cesium Fluoride Fast Crystal Scintillators // Nucl. Instrum. Methods Phys. Res., Sect A. 1987. V. 260. № 23. P. 373–376.